

高等学校教材

# 材料力学

下册

马世麟 傅仁本 主编



机械工业出版社

195393

高等学校教材

# 材 料 力 学

下 册

主 编 马世麟 傅仁本  
副主编 黄 美 谭文锋 陈英杰  
主 审 高宝珍 李慧剑



机械工业出版社

本书是根据国家教委审定的高等工业学校“材料力学课程教学基本要求”(100~110学时),在多年教学实践的基础上编写的。

本书(下册)包括能量法、静不定系统、动载荷、交变应力、压杆稳定、厚壁筒、平面曲杆、矩阵位移法、构件的塑性计算原理等十章。为便于学习,每章后都附有习题,在书末附有习题参考答案。

本书适用于高等工业学校机械类各专业,也可供其他专业使用及有关工程技术人员参考。

DV86/07

### 图书在版编目(CIP)数据

材料力学 下册/马世麟,傅仁本主编. —北京:机械工业出版社,1996.12

高等学校教材

ISBN 7-111-05395-8

I. 材… I. ①马…②傅… II. 材料力学-高等学校-教材 IV. TB301

中国版本图书馆 CIP 数据核字 (96) 第 19629 号

出版人: 马九荣 (北京市昌平南大街1号 邮政编码 100037)

责任编辑: 张一萍 版式设计: 杨丽华 责任校对: 罗利华

封面设计: 郭景云 责任印制: 侯新民

北京市昌平精工印刷厂 印刷·新华书店北京发行所发行

1996年12月第1版·1996年12月第1次印刷

787mm×1092mm<sup>1/32</sup>·10<sup>1/8</sup>印张·228千字

0 001—4 000册

定价: 13.50元

# 目 录

第十二章	能量法	1
第一节	引言	1
第二节	变形能的计算	1
第三节	单位载荷法	9
第四节	图形互乘法	17
第五节	互等定理	22
第六节	虚功原理	25
第七节	卡氏定理	32
	习题	36
第十三章	静不定系统	46
第一节	静不定系统的概念	46
第二节	力法解静不定系统	49
第三节	对称及反对称性质的应用	61
第四节	连续梁及三弯矩方程	68
	习题	75
第十四章	动载荷	81
第一节	概述	81
第二节	动静法的应用	82
第三节	构件在强迫振动时的应力计算	88
第四节	构件受冲击时的应力和变形	96
第五节	冲击韧度	104
	习题	106
第十五章	交变应力	113
第一节	交变应力与疲劳失效	113
第二节	交变应力的循环特征、应力幅和平均应力	115

第三节	持久极限 .....	117
第四节	影响构件持久极限的因素 .....	118
第五节	对称循环下构件的疲劳强度计算 .....	125
第六节	持久极限曲线 .....	127
第七节	不对称循环下构件的疲劳强度计算 .....	129
第八节	弯扭组合交变应力的强度计算 .....	132
第九节	变幅交变应力 .....	136
第十节	提高构件疲劳强度的措施 .....	138
习题	.....	140
<b>第十六章</b>	<b>压杆稳定 .....</b>	<b>144</b>
第一节	压杆稳定性概念 .....	144
第二节	两端铰支细长压杆的临界力 .....	147
第三节	不同杆端约束细长压杆的临界力 .....	150
第四节	欧拉公式的适用范围 经验公式 .....	152
第五节	压杆稳定性计算 .....	157
第六节	提高压杆稳定性的措施 .....	166
习题	.....	168
<b>第十七章</b>	<b>厚壁筒 .....</b>	<b>174</b>
第一节	厚壁筒的应力及变形 .....	174
第二节	厚壁筒的强度计算 .....	179
第三节	组合筒 .....	185
习题	.....	191
<b>第十八章</b>	<b>平面曲杆 .....</b>	<b>192</b>
第一节	概述 .....	192
第二节	平面曲杆纯弯曲时横截面上的正应力 .....	193
第三节	中性层曲率半径 $r$ 的确定 .....	199
第四节	曲杆的强度计算 .....	208
第五节	曲杆的变形计算 .....	216
习题	.....	215

第十九章	矩阵位移法 .....	218
第一节	概述 .....	218
第二节	轴向拉伸(压缩)杆件的刚度方程 .....	219
第三节	受扭杆件的刚度方程 .....	225
第四节	受弯杆件的刚度方程 .....	228
第五节	梁单元的中间载荷 .....	236
第六节	组合变形杆件的刚度方程 .....	241
第七节	受拉(压)杆件的坐标变换 .....	246
第八节	受弯杆件的坐标变换 .....	256
	习题 .....	261
第二十章	构件的塑性计算原理 .....	267
第一节	概述 .....	267
第二节	拉(压)杆系的塑性分析 .....	270
第三节	圆轴的塑性扭转 .....	274
第四节	梁的弹塑性弯曲 .....	276
第五节	按承载能力计算拉压静不定结构 .....	283
第六节	按承载能力法计算静定梁 .....	286
第七节	塑性铰及按承载能力计算静不定梁 .....	290
第二十一章	实验应力分析 .....	293
第一节	概述 .....	293
第二节	电阻应变法的基本原理 .....	294
第三节	应变测量和应力计算 .....	297
第四节	光弹性实验的原理和方法 .....	306
	习题 .....	313
	习题答案 .....	315
	主要参考文献 .....	326

## 第十二章 能量法

### 第一节 引言

变形固体在外力作用下产生变形,引起外力作用点产生位移。外力将沿其作用线方向上的位移作功。与此同时,在变形固体内部储存了变形能。在加载过程中,若外力从零开始缓慢地增加到最终值,则除变形能外,其他能量变化甚小,可以认为全部外力功  $W$ ,都转变为变形固体内的变形能  $U$ ,即

$$U=W \quad (12-1)$$

在弹性范围内,若逐渐将外力撤除时,变形能又可全部转变为功。这就是说,在弹性范围内,变形能是可逆的。

在变形固体力学中,利用功、能的概念,建立有关分析变形、位移、内力的原理和方法,统称为能量法。能量法在固体力学中应用得很广泛。

本章重点介绍计算变形的单位载荷法,它是计算刚架、桁架等杆系结构变形的简便方法。此外,还介绍了一些能量原理,如卡氏定理、虚功原理等,这些内容是进一步掌握能量法的基础。

### 第二节 变形能的计算

#### 一、外力功 变形能的一般表达式

现以图 12-1a 所示简支梁为例,说明计算弹性体内储存变形能数量的方法。梁上的集中外力  $F$ ,从零开始缓慢地增加



图 12-1

到最终值  $F_1$ 。力作用点下的位移也从零逐渐增加到最终值  $\Delta_1$ 。外力  $F$  与位移  $\Delta$  之间可能表现为正比关系,如图 12-1b 所示,这样的弹性体称为线性弹性体(或称线弹性体)。如果外力  $F$  与位移  $\Delta$  之间不存在正比关系,而是图 12-1c 所示的非线性关系,则称这种弹性体为非线性弹性体。

在加载过程中,外力  $F$  在位移增量  $d\Delta$  上作功的数值为  $dW = Fd\Delta$ ,它等于图 12-1b、c 阴影线所示的面积。外力  $F$  从零增长到  $F_1$  的全过程中,所作的总外力功为

$$W = \int_0^{\Delta_1} F d\Delta$$

由式(12-1)可得梁内储存的变形能为

$$U = W = \int_0^{\Delta_1} F d\Delta \quad (12-2)$$

若梁为非线性弹性体,式(12-2)的积分表明,梁内储存变形能的值等于图 12-1c 中曲线  $\widehat{OA}$  与水平坐标轴围成的面积  $OAB$ 。

若梁为线弹性体,式(12-2)积分等于图 12-1b 中三角形  $OAB$  的面积,变形能的数量为

$$U = W = \frac{1}{2} F_1 \Delta_1 \quad (12-3)$$

现在考虑弹性体上有几个载荷作用时,外力功和变形能的计算问题。为了叙述简单且不失其一般性,只讨论作用两个载荷

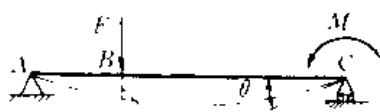


图 12-2

的情况。图 12-2 所示之简支梁,于 B、C 两点分别作用集中力  $F_1$ 、集中力偶  $M_2$ 。梁产生变形后,B 点的挠度(线位移)为  $\Delta_1$ , C 点截面转角(角位移)为  $\theta_2$ 。在变形过程中,集中力  $F_1$  在线位移  $\Delta_1$  上作功,集中力偶  $M_2$  在角位移  $\theta_2$  上作功。可以按不同的加载次序计算外力功的数值。例如,可以先加  $F_1$  后加  $M_2$ ,或者先加  $M_2$  后加  $F_1$ ,也可以将两个载荷同时由零开始,按同一比例缓慢地增加到最终值  $F_1$ 、 $M_2$ (通常称这种加载方式为简单加载)。对弹性体(线性或非线性的)来说,在变形过程中储存变形能的数值,只决定于外力和位移的最终值,而与加载的次序无关。否则,若与加载的次序有关,那么总可选一储能较多的加载次序加载,而按储能较少的次序卸载,于是在弹性体内部将积累变形能。这显然与能量守恒原理相矛盾。可见,变形能的数值应与加载的次序无关。这样,就可以按上述简单加载的过程来计算外力功和变形能。

梁为非线性弹性体时,由式(12-2)得

$$U = W = \int_0^{\Delta_1} F_1 d\Delta + \int_0^{\theta_2} M d\theta \quad (12-4a)$$

梁为线性弹性体时,由式(12-3)得

$$U = W = \frac{1}{2} F_1 \Delta_1 + \frac{1}{2} M_2 \theta_2 \quad (12-4b)$$

为了得到变形能的一般表达式,将外力统一符号用  $F$  表示,这时要将集中力偶  $M_2$  改为  $F_2$ ,称  $F$  为广义力。用统一的

符号  $\Delta$  表示广义力做功的相应位移,这时应将角位移  $\theta_2$  改写成  $\Delta_2$ ,称  $\Delta$  为广义位移。图 12-3 所示弹性体上作用  $F_1, F_2, \dots, F_n$  个广义力,由于弹性体的变形(图 12-3 中虚线所示)产生相应的广义位移  $\Delta_1, \Delta_2, \dots, \Delta_n$ 。在变形过程中,变形体内所储存的变形能的一般表达式,按以下两种情况考虑。

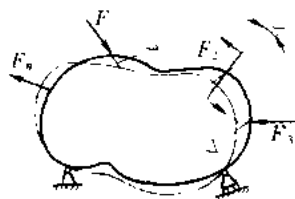


图 12-3

(一)非线性弹性体

依照式(a),变形能的一般表达式为

$$U = W = \sum_{i=1}^n \int_0^{\Delta_i} F_i d\Delta_i \quad (12-5)$$

式中  $F_i, \Delta_i$  分别表示广义力和广义位移;积分上限的  $\Delta_i$  为第  $i$  个广义位移的最终值。

利用广义力与广义位移之间的关系,可用广义位移  $\Delta$  表示广义力  $F$ ,于是变形能可表达成广义位移  $\Delta$  的函数,即

$$U = U(\Delta_1, \Delta_2, \dots, \Delta_n) \quad (12-6a)$$

同理,可将广义位移用广义力来表达。于是也可将变形能表达为广义力  $F$  的函数,即

$$U = U(F_1, F_2, \dots, F_n) \quad (12-6b)$$

(二)线性弹性体

依照式(12-4b),变形能的一般表达式为

$$U = W = \frac{1}{2} F_1 \Delta_1 + \frac{1}{2} F_2 \Delta_2 + \dots + \frac{1}{2} F_n \Delta_n \quad (12-7)$$

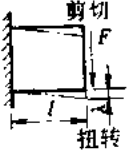
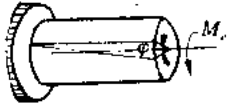
上式表示,线弹性体的变形能等于各广义力与其相应广义位移乘积之半的总和。这一结论也称为克拉贝依隆原理。

由于线性弹性体上的外力  $F_1, F_2, \dots, F_n$  与位移  $\Delta_1, \Delta_2, \dots, \Delta_n$  之间存在线性关系。所以对线弹性体来说,若把式(12-7)中的外力用位移表达,变形能就成为位移的二次齐次函数。同理,如把位移用外力来表达,则变形能就成为外力的二次齐次函数。可见,变形能不能叠加的物理量。

## 二、线弹性杆件变形能表达式

根据前述各章的有关公式,可将线性弹性杆件在基本变形情况下的变形能表达为内力的函数。现将表达式列于表 12-1。

表 12-1 杆件在基本变形情况下的变形能

变形形式	外力功 $W$	位移与力的关系	变形能 $U$
 <p>轴向拉伸</p>	$W = \frac{1}{2} F \Delta l$	$F_N = P$ $\Delta l = \frac{F_N l}{EA}$	$U = \frac{F_N^2 l}{2EA}$
 <p>剪切</p> <p>扭转</p>	$W = \frac{1}{2} F \lambda$	$F_Q = F$ $\lambda = \frac{F_Q l}{GA}$	$U = \frac{F_Q^2 l}{2GA}$
	$W = \frac{1}{2} M e \varphi$	$T = Me$ $\varphi = \frac{T l}{GI}$	$U = \frac{T^2 l}{2GI}$
 <p>弯曲</p>	$W = \frac{1}{2} M e \theta$	$M = Me$ $\theta = \frac{M l}{EI}$	$U = \frac{M^2 l}{2EI}$

在组合变形的情况下,由于横截面上不止一种内力素,而且内力的数值一般随截面的位置而变化。例如图 12-4 所示圆截面杆件,横截面上同时存在弯矩  $M$ 、扭矩  $T$ 、轴力  $F_N$  和剪力  $F_Q$  四种内力。其中弯矩  $M$  是截面位置坐标  $x$  的函数。为了计算变形能,用

两个横截面截出  $dx$  微段。在该微段长度内,可以认为内力为常量。因此在该微段左、右两侧截面上作用着大

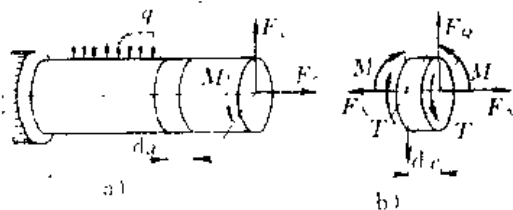


图 12-4

小相同的内力  $F_N$ 、 $F_Q$ 、 $T$ 、 $M$  等(图 12-4b)。对当前所研究的微段来说,这些内力都处于微段的外力地位。现在来计算该微段的变形能  $dU$ 。如上所述,一般情况下变形能(或外力功)不能叠加。但是当前的四种内力素,其中任一内力仅在该内力本身引起微段变形上作功,在其余内力引起微段的变形上不作功。例如在该微段的轴向相对位移  $d(\Delta l)$  上,仅有轴力  $F_N$  作功,而其余内力在轴向相对位移上都不作功。这样,就可以分别计算每一种内力单独作用时微段的变形能,然后求其总和,即可得该微段内储存的总变形能  $dU$ 。该微段左、右两截面的相对伸长、相对转角、相对扭转角、相对剪切变形分别用  $d(\Delta l)$ 、 $d\theta$ 、 $d\varphi$ 、 $d\lambda$  表示,则由表 12-1 可得微段变形能  $dU$  及外力功  $dW$  的表达式

$$dU = dW = \frac{1}{2} F_N d(\Delta l) + \frac{1}{2} M d\theta + \frac{1}{2} T d\varphi + \frac{1}{2} k F_Q d\lambda$$

$$= \frac{(F_N)^2 dx}{2EA} + \frac{M^2 dx}{2EI} + \frac{T^2 dx}{2GI_p} + \frac{k(F_Q)^2 dx}{2GA}$$

通过积分,即可求出整个杆件的总变形能

$$U = \int_l \frac{(F_V)^2 dx}{2EA} + \int_l \frac{M^2 dx}{2EI} + \int_l \frac{T^2 dx}{2GI_p} + \int_l \frac{k(F_Q)^2 dx}{2GA} \quad (12-8)$$

式中系数  $k$ ①, 是用来修正横力弯曲时切应力不沿截面均匀分布的修正系数。它的数值与截面形状有关, 矩形截面  $k = \frac{6}{5}$ ,



图 12-5

圆形截面  $k = \frac{10}{9}$ 。

对以抗弯为主的杆件及杆系, 因轴力和剪力远小于弯矩对变形的影响, 所以在计算这类杆件的变形时, 通常不计轴力和剪力的影响。

**例 12-1** 试求图 12-5 所示简支梁的变形能, 并求集中力  $F$  作用点  $C$  处的挠度  $f_c$ 。

**解** 由于  $AC$ 、 $BC$  两段对称, 所以全梁的变形能等于  $AC$  段的二倍。  $AC$  段内的弯矩为

$$M = -\frac{1}{2}Fx \quad \left(0 \leq x \leq \frac{l}{2}\right)$$

由式(12-8)得梁的变形能为

$$U = 2 \int_0^{\frac{l}{2}} \frac{M^2 dx}{2EI_z} = 2 \int_0^{\frac{l}{2}} \frac{\left(-\frac{1}{2}Fx\right)^2 dx}{2EI_z} = \frac{F^2 l^3}{96EI_z}$$

由式(12-1)得  $W = \frac{1}{2}Ff_c = U = \frac{F^2 l^3}{96EI_z}$

所以  $f_c = \frac{Fl^3}{48EI_z}$

如何求梁上任一点  $K$  的挠度 ( $K$  点无外力作用)? 如果梁上同时有几个载荷作用, 如何求任意点的挠度? 为了解决这些

① 参阅刘鸿文主编《材料力学》第二版, 下册, §10-7; 高教出版社 1982 年版

问题, 还需利用变形能的概念导出有关计算变形的办法。

**例 12-2** 试求图 12-6a 所示半圆形平面曲杆, 作用于  $A$  端的集中力  $F$  作用点的垂直位移。  $F$  垂直于轴线所在平面。

**解** 设任意横截面  $mn$  的位置由圆心角  $\varphi$  确定。由曲杆的俯视图(图 12-6b)可以看出, 截面  $mn$  上弯矩和扭矩分别为

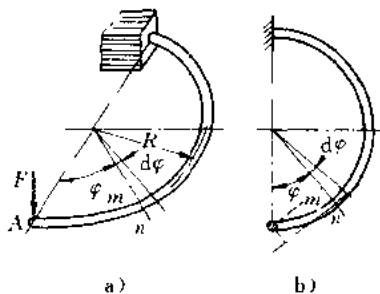


图 12-6

$$M = FR \sin \varphi$$

$$T = FR(1 - \cos \varphi)$$

微段  $Rd\varphi$  内的变形能是

$$\begin{aligned} dU &= \frac{M^2 Rd\varphi}{2EI} + \frac{T^2 Rd\varphi}{2GI_p} \\ &= \frac{F^2 R^2 \sin^2 \varphi d\varphi}{2EI} + \frac{F^2 R^2 (1 - \cos \varphi)^2 d\varphi}{2GI_p} \end{aligned}$$

积分求得整个曲杆的变形能为

$$\begin{aligned} U &= \int_0^\pi \frac{F^2 R^2 \sin^2 \varphi d\varphi}{2EI} + \int_0^\pi \frac{F^2 R^2 (1 - \cos \varphi)^2 d\varphi}{2GI_p} \\ &= \frac{F^2 R^3 \pi}{4EI} + \frac{3F^2 R^3 \pi}{4GI_p} \end{aligned}$$

若  $F$  力作用点沿  $F$  的方向的位移为  $f_A$ , 在变形过程中, 集中力  $F$  所作的功应为

$$W = \frac{1}{2} F f_A$$

由  $U=W$ , 得  $f_A = \frac{FR^3\pi}{2EI} + \frac{3FR^3\pi}{2GI_p}$

**例 12-3** 用变形比能的概念证明三个弹性常数  $E$ 、 $G$ 、 $\mu$  间的关系。

**解** 在纯剪切的情况下(图 12-7)变形比能为

$$u = \frac{1}{2} \tau \gamma = \frac{\tau^2}{2G}$$

另一方面,纯剪切应力状态下的主应力是

$$\sigma_1 = \tau, \quad \sigma_2 = 0, \quad \sigma_3 = -\tau$$

代入式(9-26)算出比能

$$\begin{aligned} u &= \frac{1}{2E} (\sigma_1^2 + \sigma_2^2 + \sigma_3^2 - 2\mu(\sigma_1\sigma_2 + \sigma_2\sigma_3 + \sigma_3\sigma_1)) \\ &= \frac{\tau^2(1+\mu)}{E} \end{aligned}$$

这两种方式算出的比能应相等,即

$$\frac{\tau^2}{2G} = \frac{\tau^2(1+\mu)}{E}$$

由此求得三个弹性常数  $E$ 、 $G$ 、 $\mu$  间的关系是

$$G = \frac{E}{2(1+\mu)}$$



图 12-7

### 第三节 单位载荷法

单位载荷法又称莫尔定理(或莫尔积分),它是计算弹性变形比较简便的方法。现利用变形能的概念导出这种求变形的方

仍以简支梁为例,梁在截荷  $F_1, F_2, \dots, F_n$  作用下发生弯曲变形(图 12-8a),  $M(x)$  表示横截面上的弯矩,梁的变形能为

$$U = \int_l \frac{M^2(x)}{2EI} dx \quad (12-9a)$$

按下述途径导出计算梁上  $C$  点挠度  $f_c$  的计算公式。

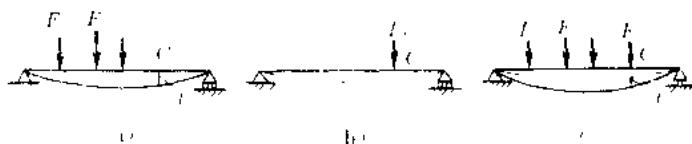


图 12-8

设在载荷组  $F_1, F_2, \dots, F_n$  作用之前,先在  $C$  点沿挠度  $f_c$  方向上作用单位力  $F_0=1$ ,如图 12-8b 所示。这时梁横截面上的弯矩记为  $M_0(x)$ ,梁内的变形能为

$$U_0 = \int_l \frac{[M_0(x)]^2}{2EI} dx \quad (12-9b)$$

当外力  $F_0$  作用之后,再把载荷  $F_1, F_2, \dots, F_n$  作用在梁上,如图 12-8c 所示。若梁为线性弹性体,且变形很小,则各外力引起的变形相互独立无关,也就是说,不会因单位力  $F_0$  的预先作用而改变  $F_1, F_2, \dots, F_n$  的效应, $C$  点由载荷组所引起的挠度必然仍为  $f_c$ 。由于载荷组  $F_1, F_2, \dots, F_n$  等外力作功而储存于梁内的变形能仍为式(12-9a)表示的  $U$ 。注意到在  $F_1, F_2, \dots, F_n$  作用过程中,单位力  $F_0$  已在梁上,所以单位力  $F_0$  又完成了数量为  $F_0 f_c = 1 \times f_c$  的功。这样,按先加单位力  $F_0$ ,后加载荷组  $F_1, F_2, \dots, F_n$  的次序加载,梁内储存的变形能为

$$U_1 = U_0 + U + 1 \times f_c \quad (12-9c)$$

在  $F_0$  和  $F_1, F_2, \dots, F_n$  共同作用下,梁横截面上的弯矩应为

$$M_1(x) = M(x) + M_0(x)$$

梁这时所储存的变形能,又可直接表示为

$$U_1 = \int_l \frac{[M_1(x)]^2}{2EI} dx = \int_l \frac{[M(x) + M_0(x)]^2}{2EI} dx \quad (12-9d)$$

式(12-9c)、式(12-9d)应相等,即

$$U_1 + U_2 + 1 \times f_c = \int_l \frac{[M(x) + M_0(x)]^2}{2EI} dx \quad (12-9e)$$

从式(12-9c)中减去式(12-9a)、式(12-9b)得

$$1 \times f_c = \int_l \frac{M(x)M_0(x)}{EI} dx \quad (12-9f)$$

将式(12-9f)两边除以单位力 1, 得挠度  $f_c$  的计算公式为

$$f_c = \int_l \frac{M(x)M_0(x)}{EI} dx \quad (12-9g)$$

如果需要计算梁上某截面的转角  $\theta$  时, 则在该截面处加一单位力偶, 然后按照上述相同的步骤推导, 即可得转角的表达式为

$$\theta = \int_l \frac{M(x)M_0(x)}{EI} dx \quad (12-9h)$$

式中的  $M_0(x)$  为梁在单位力偶作用下的弯矩。 $M(x)$  仍为载荷组  $F_1, F_2, \dots, F_n$  作用下梁的弯矩。

综上所述, 可将计算挠度、转角的公式, 写成统一的形式

$$\Delta = \int_l \frac{M(x)M_0(x)}{EI} dx \quad (12-10)$$

式中  $\Delta$  为待求的广义位移;  $M_0(x)$  为与广义位移相应的广义单位力引起的弯矩。一般称式(12-10)为莫尔积分。由于这种方法必须沿欲求位移的方向加广义单位力(单位载荷), 故一般称为单位载荷法(或单位力法)。从式(12-9f)可以看出, 如果从式(12-10)求出的位移为正值, 即表明单位力作正功, 也就表示位移的方向与单位力的方向一致。反之, 所求位移的方向与单位力的方向相反。

横截面高度远小于杆轴线曲率半径的平面曲杆, 其应力分布近于直梁, 初曲率对变形的影响, 可忽略不计。因此, 只要把式(12-10)中的积分变量  $x$  改写为曲杆轴线弧长  $s$ , 就可用